

愛知工大 正倉員 正木和明
 同 上 谷口仁七
 同 上 飯田汲事

1. はじめに

地震時にあける構造物の破壊要因には次の2つの要因が考えられる。

(1) 地震動そのものによる破壊

(2) 基礎地盤の破壊に伴う破壊

震害調査の際には(1), (2)どちらの要因による破壊か、区別しておく必要があるが、過去の震害調査では必ずしも明瞭に区別されていふとは言ひ難い。また、将来如何であるか地震に対する防災計画を立てる際にも両者は区別しておく必要がある。本研究は東南海地震(1944年)における名古屋市の住家被害がどのよりな要因によつてもたらされたものかを調査したものである。

2. S波増中度と被害率の関係

地震動の強さは今不明であるので地盤のS波増中度で置きかえる。ここでS波増中度とはS波多重反射法によつて得られた表層地盤(沖積層、洪積層)の波動伝達率の最大ピーク値(ただし、0~10 Hzの周波数領域内での)のことである。

図1はPS換層によつて地盤のS波構造がわかつてゐる地点で求めたS波増中度と濃尾地震(1891年)における住家被害率(=(全壊戸数+ $\frac{1}{2}$ 半壊戸数)/(全戸数))との関係を示したものであるが、S波増中度が大きい地点(即ち地震動が大きかつたと予想される地点)では地震被害が大きいことが示されてゐる。

同様な調査を詳しく被害の様子がわかつてゐる東南海地震(1944年)について行ってみた。まず、名古屋市を約1 kmメッシュに区分し、各メッシュのS波増中度を求めた。この際計算に必要なS波速度、地盤密度は次の方法により求めた。

(i) PS換層実施メッシュ---約30のメッシュにおいてはPS換層が実施されてゐるので、このデータを利用する。ただし、換層深度以深のS波速度、地盤密度については(iii)の方法により求めた。

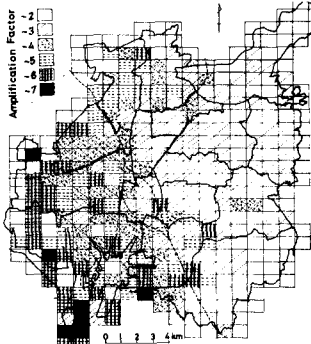


図2 名古屋市 1km×1km別 地盤S波増中度

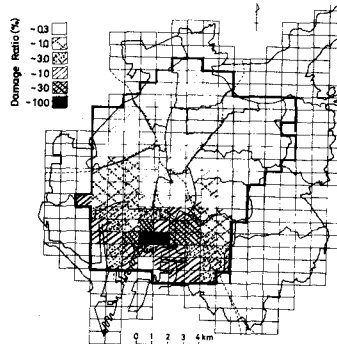


図3 東南海地震(1944)における 1km×1km別住家被害率(太線は調査区域を示す)

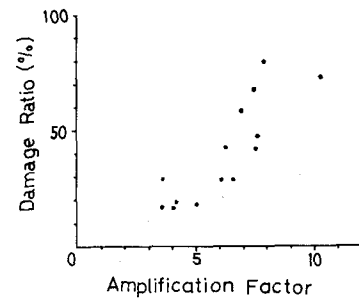


図1 濃尾地震(1891)における住家被害率と地盤のS波増中度との関係

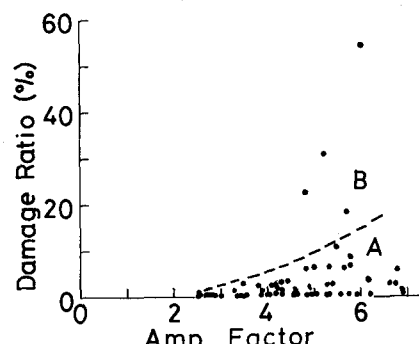


図4 東南海地震住家被害率と地盤S波増中度との関係
(1kmメッシュ単位で求めたもの)

(ii) PS 模層が実施されていないメッシュ ---既存のボーリングデータ(深度 H, N 値, 地層年代 E, 土質区分 F)を用いて次式より S 波速度 vs, 地盤密度 ρ を推定した。

$$vs (\text{m/s}) = 98.0N^{0.170} \cdot H(\text{m})^{0.104} \cdot \begin{bmatrix} 1.000 & \text{冲積層} \\ 1.292 & \text{洪積層} \\ 1.659 & \text{第三紀層} \end{bmatrix}_E \cdot \begin{bmatrix} 0.936 & \text{粘土} \\ 0.840 & \text{砂} \\ 0.984 & \text{砂} \end{bmatrix}_F \quad \dots (1)$$

$$\rho (\text{kg/m}^3) = 1.70 N^{-0.027} \cdot H(\text{m})^{-0.018} \cdot \begin{bmatrix} 1.000 & \text{冲積層} \\ 1.041 & \text{洪積層} \\ 1.025 & \text{第三紀層} \end{bmatrix}_E \cdot \begin{bmatrix} 1.007 & \text{粘土} \\ 1.064 & \text{砂} \\ 1.122 & \text{砂} \end{bmatrix}_F \quad \dots (2)$$

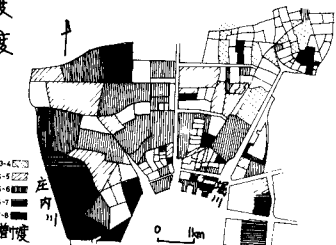


図5 名古屋市港区町別 S 波増中度

得られた S 波増中度分布を図2に示す。また住家被害率を図3に示す。

図4に住家被害率と S 波増中度との関係を示す。図1と同様、増中度が大きい程被害率は大きい(A領域)が、増中度に比して被害率が極端に大きいメッシュ(B領域)が存在することが注目される。これらのB領域のメッシュは名古屋市港区のメッシュである。

3. 港区における S 波増中度と被害率の関係

被害の大きかった港区に、1km メッシュより細かい町別区分を用いて各区分での S 波増中度を求めて、得られた結果を図5に示す。また住家被害率を図6に示す。被害率と増中度との関係を図7に示す。図4で示された傾向はより顕著となる。即ち、A領域に区分される地点では増中度が大きい程、被害率は大きい。これに対し、B領域に区分される地点では増中度に比して被害率は極度に大きく、被害率と無関係に被害率が存在する。これはB領域に区分された地点における被害は地盤運動のみによるものではなく、他の原因にも関連していると予想される。図6に破線で示した地域は東南海地震時に噴砂、噴泥、湧水等の地変がみられた所である(飯田、)。これらの地変が地盤の液状化によるものと察すると、液状化が発生した地域で被害が大きかった傾向が図6によりうががえる。

4. 液状化地域における被害

港区において東南海地震当時住んでいた人に対する調査を行ない、住家被害と地変との関係を求めて、図8は液状化がみられた地域とみられない地域に分けて住家の被害程度を分類したものである。明らかに、液状化がみられる地域にあって被害が大きく、被害程度も大きい。このことから地盤の液状化が住家被害に与えた影響は大きいことがわかる。図4、図6にみられる A 領域に比べて B 領域の各地点の被害は液状化に伴う地盤の破壊により多くなった住家被害であると察しうる。

5.まとめ

地盤破壊に伴う被害も大きく、地震動そのものによる被害に加えて今後検討することが必要である。

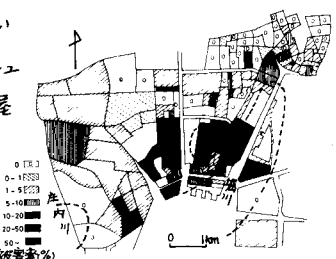


図6 名古屋市港区町別の東南海地震住家被害率(点線は噴砂、噴泥のみられた地域を示す)

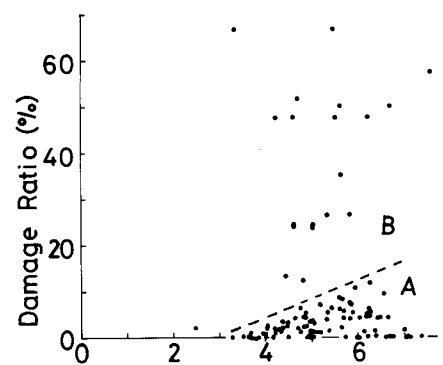


図7 東南海地震住家被害率と S 波増中度との関係(港区の町別単位で求めたもの)

